

コンクリート等岩質材料の供試体長ならびに端面拘束条件
が供試体の破壊の機構、強度におよぼす影響について

京都大学工学部 正員 丹羽義次

" " 小林昭一

" " ○中川浩二

はじめに

コンクリート等岩質材料の圧縮試験時にあらわる問題点として、供試体端面の圧盤による側方変位拘束がある。直角、一軸圧縮試験においては、供試体と圧盤との弹性係数、ポアソン比が異なるため(一般には供試体のポアソン比と弹性係数との比/E_sが圧盤の比/E_pより下りたため)供試体は圧盤によつて端面での側方変位を拘束され、一種は変形状態とはなり得ない。そのため、供試体内の応力分布ならびに破壊の進行状況は一様とはならず、得られる供試体の強度が真の一軸圧縮強度と異なることは、今まで多くの報告にあるとおりである。そこで本研究では、材料の直行性破壊現象を考慮し、供試体の細長比、供試体端面と端面圧盤との間の摩擦係数が、どのように供試体の破壊の機構、強度に影響をおよぼすかについて有限要素法を用いて数值実験を行なつた。そして、すでに報告されてゐるコンクリートあるいは岩石の一軸圧縮試験結果と比較することにより、岩質材料の一軸圧縮試験における端面拘束が供試体の強度ならびに破壊の機構におよぼす影響を明らかにすることを試みた。

数値実験

数値実験を行なうために、セメント:砂:水 = 1.0 : 2.0 : 0.6 (重量比)、20°C 恒温水中養生、指令4画のモルタル供試体を採用した。

端面条件の選定 供試体内の各要素は少數の例外を除いて、いわゆる拘束圧の小さい三軸圧縮応力状態 ($\sigma_1 = \sigma_2 = \sigma_3$) に近く、従つて強度破壊条件としては Rankin 面の正規試験部分を考へれば十分である。拘束圧に応じて、これを次の3段の直線で表わした。

$$\begin{aligned} \sigma_1 &= 0.03 + \sigma_0, \quad \sigma_3/\sigma_1 \leq 1/20; \quad ; \quad \sigma_1 = 40.3 + 1.2\sigma_0, \quad 1/20 \leq \sigma_3/\sigma_1 \leq 1/10 \\ \sigma_1 &= 2.5\sigma_0 + 1.5\sigma_0, \quad 1/10 \leq \sigma_3/\sigma_1 \end{aligned}$$

さらに供試体の破壊の進行状況を表わすために、強度破壊曲面の内部に相似比 0.65, 0.85, 0.95, 0.99 となる強度破壊曲面と相似な曲面を仮定した。

そしてこれらの曲面と強度破壊曲面とによつて分けられる6つの領域の応力状態に対し、それそれぞれ求められた弹性係数によつて与えられる半周とすると仮定した。

ポアソン比、弹性係数 それそれの値は、供試の応力比のモルタル供試体の実験結果であるかく一括表を示さるだけ表わしうるようになんだ。すなはち各段階でポアソン比は 0.1667, 0.2000, 0.2500, 0.3500, 0.4500, 0.4800, 弹性係数は無次元化して 1.00, 0.80, 0.40, 0.20, 0.04, 0.01 とした。

くり返し計算 弾性解析法には修正弹性係数と用ひる増分法実験による応力-歪曲線

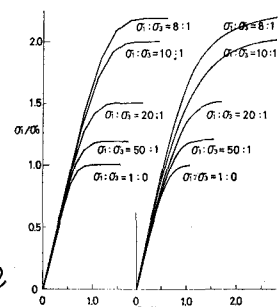


図-1 供試された応力-歪曲線

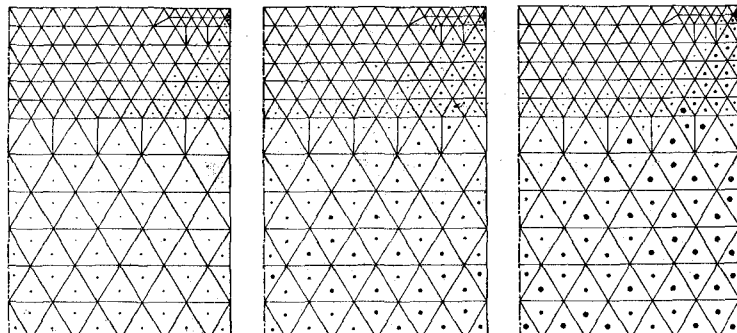
を用いた。右入子、 γ_0 で与えた端面の変位量は一様一軸圧縮試験での強度減少量の変位量の $1/32$ とした。

供試体端面の拘束 供試体端面の剛体圧盤による拘束は両者の間の摩擦係数によつて支配され、この摩擦係数は直応力の大きさにかかわらず一定であるといふ静力荷にあける摩擦係数の考え方を採用した。

結果

1) 供試体の崩壊の進行は端面拘束の影響を大きく受ける。左較軽い供試体(たとえば供試体長と直径との比 $l/d = 2.0$)では、供試体

の中央断面近くでかなり一様な崩壊の進行がみられるが、短い供試体(たとえば $l/d = 1.0$)では中央断面近くでも崩壊の進行は周縁部で早く、中心軸近くで遅い。



2) 供試体内の応力分布は

崩壊の進行とともに図-2 端面拘束にともなう供試体の崩壊の進行。 $l/d=1.5$ $\mu=\infty$ にする。供試体中央断面近くでの軸方向応力は崩壊の進行とともに中心軸近くで大きくなり、周縁部では相対的に小さくなる。これは $l/d=1.0$ の場合に類似であるが、 $l/d=2.0$ の場合には絶対に著しくはない。また、供試体の中央断面周縁部では崩壊が進行しても軸方向応力は引張となり、この部分での最小主応力となる。コンクリートなどの一軸圧縮試験における供試体表面の軸方向ひびわれはこれに起因する。

3) 供試体の崩壊の進行、内部応力の分布はともに供試体端面と压盤との間の摩擦係数の取扱いにより、一様な状態へと近づく。

しかしここで検討しに程度の摩擦係数($\mu=0.1, 0.05$)ではまだ端面摩擦の影響は大きく、理想の一軸圧縮状態とは差がある。

4) 供試体内各要素の挙動として巨視的仮定

の成立する材料では、供試体端面を拘束することにより、2、理想的な状態で載荷したときよりも一軸圧縮強度が低下することがある。

本研究の仮定では $l/d=2.0$ のとき得られる強度は理想的な一軸強度の 97% 強度となり、

$l/d < 1.5$ ではその値の減少とともに急激なみかけ上の強度の増加がみられる。

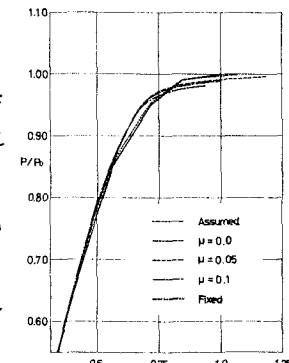


図-3 供試体端面拘束条件と高強度曲線 $l/d = 1.5$

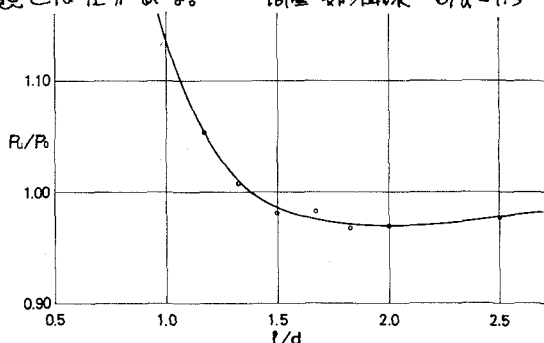


図-4 供試体端面拘束とみかけ強度、端面完全拘束